

بررسی خصوصیات الگوی توزیع مکانی فرسایندگی باران در استان هرمزگان

بهزاد عادلی - دانشجوی دکتری علوم و مهندسی آبخیزداری، دانشکده کشاورزی و منابع طبیعی، دانشگاه هرمزگان
حمید غلامی* - عضو هیات علمی گروه مرتع و آبخیزداری، دانشکده کشاورزی و منابع طبیعی، دانشگاه هرمزگان
علیرضا نفرزادگان - دانشجوی دکتری علوم و مهندسی آبخیزداری، دانشکده کشاورزی و منابع طبیعی، دانشگاه هرمزگان

پذیرش مقاله: ۱۳۹۴/۱۱/۱۷ تأیید نهایی: ۱۳۹۵/۰۴/۱۸

چکیده

نیرومحرکه فرسایش آبی نیروی برشی حاصل از سقوط قطرات آب باران می‌باشد که تحت عنوان عامل فرسایندگی باران در معادله جهانی فرسایش خاک (USLE) نیز مطرح می‌باشد. از این رو آگاهی از میزان و الگوی تغییرات مکانی آن برای بهبود مدیریت سرزمین و ارزیابی ریسک فرسایش خاک در شرایط آینده کاربری اراضی و تغییر اقلیم بسیار مهم و حیاتی است. هدف از این تحقیق بررسی الگوی تغییرات فضایی عامل فرسایندگی باران با استفاده از شاخص فورنیه اصلاح شده در استان هرمزگان می‌باشد. بدین منظور، اطلاعات نقطه‌ای شاخص فورنیه اصلاح شده در ۱۶۷ ایستگاه باران‌سنجدی استان براورد گردید. تبدیل اطلاعات نقطه‌ای عامل فرسایندگی به اطلاعات ناحیه‌ای این عامل، بعد از برآش مدل تغییرنما و انتخاب روش میان‌بابی برتر در محیط نرم‌افزارهای GS+ و ArcGIS صورت گرفت. همچنین جهت بررسی ارتباط عامل فرسایندگی باران با متغیرهای ارتفاع، بارندگی و طول و عرض جغرافیایی، ماتریس همبستگی محاسبه شد و معلوم گردید که قدرت فرسایندگی بارندگی در استان هرمزگان تنها با مقادیر بارندگی ارتباط معنادار دارد و با دیگر متغیرها ارتباط معناداری مشاهده نگردید. نتایج نشان داد که ساختار فضایی داده‌های تحقیق از مدل تغییرنامی خطی تعییت می‌کند و روش میان‌بابی عکس فاصله با توان^۳، برتوین روش برای پنهنه-بندی داده‌های تحقیق تشخیص داده شد. همچنین نتایج نشان داد که دامنه فرسایندگی برای ایستگاه‌های مورد بررسی از MJ mm ۴۱۴ در ایستگاه جاسک تا ۳۲ ha-1h-1yr-1 در ایستگاه سد استقلال متغیر می‌باشد. همچنین تغییرات عامل فرسایندگی باران استان هرمزگان، از الگوی منظمی پیروی نمی‌کند به طوری که لکه‌های نامتناجنس، در مناطق مختلف استان قابل مشاهده است. درمجموع بیشترین فراوانی با حدود ۴۰ درصد از کل مساحت منطقه در دامنه فرسایندگی ۱۰۰-۱۴۰ MJ mm ha-1h-1yr-1 قرار دارد و تنها ۷/۶ درصد از مساحت استان هرمزگان متأثر از بارش‌هایی باقدرت فرسایندگی بیش از ۲۰۰ MJ mm ha-1h-1yr-1 می‌باشد.

واژگان کلیدی: فرسایش خاک، شاخص فورنیه، تغییرنما، نقشه‌های هم‌فرساينده، هرمزگان

مقدمه

فرسایش تشیدی خاک یکی از فرآیندهایی است که تأثیرات نامطلوبی بر منابع آب و خاک می‌گذارد. آب، باد، یخچال و نیروی نقل چهار عامل اصلی در فرسایش خاک به حساب می‌آیند که در کشور ایران فرسایش ناشی از آب (فرسایش آبی) از وسعت و پیچیدگی بالاتری برخوردار می‌باشد (صادقی^۱ و همکاران، ۲۰۱۱: ۴۵۲). فرسایش آبی مشکلات عدیدهای مانند کاهش حاصلخیزی و بهره‌وری خاک از طریق کاهش اراضی قابل کشت، افزایش فعالیت‌های زمین‌لغزشی، تخریب اکوسیستم و پخش آلاینده‌ها از طریق ورود جریان رسواب به رودخانه‌ها به همراه دارد (هئو و لی^۲، ۲۰۱۱: ۳۳). همچنین فرسایش خاک با توجه به اثرات محیط زیستی آن، یکی از عوامل اصلی تخریب حوزه‌های آبخیز به شمار می‌آید (صادقی و حرباوی^۳، ۲۰۱۵: ۳۸۴؛ ۲۰۰۶: ۳۲۸). جدا شدن ذرات خاک توسط قطرات باران و انتقال ذرات جداسده توسط رواناب دو فرآیند پایه‌ای فرسایش آبی می‌باشند اساساً فرسایش آبی با جدایش ذرات خاک که به طور عمده توسط نیروی برشی ناشی از سقوط قطرات باران کترل می‌شود آغاز می‌شود (صادقی و همکاران، ۲۰۱۱: ۴۵۲). این عامل به عنوان عامل فرسایندگی باران شناخته می‌شود (پتکووسک و میکوس^۴، ۲۰۰۴: ۸۷۱؛ اسدی^۵ و همکاران، ۲۰۰۸: ۸۰). مفهوم فرسایندگی باران توسط هادسون^۶ (۱۹۷۱) و ویشمایر و اسمیت^۷ (۱۹۹۷) به عنوان یک اثر متقابل بین انرژی جنبشی باران و سطح خاک توصیف شده است. درواقع این عامل برای محاسبه توانایی باران در فرسایش خاک در شرایط مختلف به کار گرفته شده است و یکی از ۶ عاملی است که در معادلات برآورد هدر رفت خاک (RUSLE و USLE) استفاده می‌شود (هئو و لی^۸، ۲۰۱۱: ۳۲).

فرسایش خاک یکی از مهم‌ترین مسائل و مشکلاتی است که امروزه با آن مواجه هستیم (رضائی و همکاران، ۱۳۹۳: ۹۹). به طوری که در دهه اخیر اهمیت مسائل فرسایش خاک و عوامل فرسایندگی باران دوچندان شده است. در این زمینه سازمان جنگل‌ها، مراتع و آبخیزداری کشور سالانه حدود ۱۵۰ میلیون دلار در راستای پروژه‌های آبخیزداری به منظور جلوگیری یا کاهش بخشی از فرسایش خاک و مشکلات مرتبط با آن هزینه می‌کند (صادقی و همکاران، ۲۰۱۱: ۴۵۱). به همین دلیل، لزوم توجه به مسائل فرسایش و عوامل تأثیرگذار بر آن از جمله عوامل اقلیمی را بیش از پیش می‌طلبید. این امر ناشی از این است که فرسایندگی باران نه تنها به عنوان یک عامل ورودی در مدل سازی فرسایش خاک به کار گرفته می‌شود بلکه به عنوان عاملی مهم در مدل سازی سایر فرآیندهای مدیریتی منابع آب و خاک مانند ترسیب رسواب، کیفیت آب و دیگر موارد نیز کاربرد دارد (هئو و لی، ۲۰۱۱: ۳۲). بنابراین برآورد دقیقی از فرسایندگی باران می‌تواند به بهبود دقت مدل سازی‌ها کمک نماید (رنارد^۹ و همکاران، ۱۹۹۷: ۲۸۷). همچنین فرسایندگی باران یک پارامتر کلیدی در ارزیابی ریسک فرسایش خاک تحت شرایط آینده کاربری اراضی و تغییر اقلیم است (موسیرگر^{۱۰} و همکاران، ۲۰۱۲: ۱۶۷).

روش اصلی برای محاسبه فرسایندگی یک واقعه بارش باران، نیازمند داده‌های ثبت شده توسط باران نگارها می‌باشد (ویشمایر و اسمیت، ۱۹۷۸؛ مورگان^{۱۱}، ۲۰۰۴). دسترسی به این گونه اطلاعات در بسیاری مناطق دنیا بسیار وقت‌گیر، هزینه‌بر و دشوار می‌باشد (صادقی و همکاران، ۲۰۱۱: ۴۵۳؛ هئو و لی، ۲۰۱۱: ۳۳). این در حالی است که فرمول‌های دیگری نیز به وجود آمده که می‌توانند با دقت خوبی مقادیر ماهانه یا سالانه میزان فرسایندگی باران را با استفاده از داده-

¹ Sadeghi

² Heo and Lee

³ Sadeghi and Hazbavi

⁴ Ludwig

⁵ Petkovesk and Mikos

⁶ Asadi

⁷ Hudson

⁸ Wischmeier and Smith

⁹ Renard

¹⁰ Meusburger

¹¹ Morgan

های سهل‌الوصول برآورد نمایند (برتونی و لمباردی‌نتو^۱: ۱۹۹۰؛ رنارد و فریموند^۲: ۱۹۹۴؛ ۲۸۹). روش‌های تخمین‌گر مبتنی بر داده‌های بارش سالانه نمونه خوبی از مدل‌های آسان هستند زیرا که دسترسی به داده‌های بارش سالانه نسبتاً راحت و قابل‌اعتماد می‌باشد (نهو و لی، ۲۰۱۱: ۳۳). فرمول فورنیه از جمله فرمول‌هایی است که این خصوصیت را دارا هستند و به طور بسیار گسترده‌ای برای همین منظور مورداستفاده می‌گیرد. فرمول فورنیه به صورت $Cc = \frac{M_x^2}{P}$ ارائه شده است. در این فرمول Cc برابر با مقدار شاخص فورنیه، M معرف میزان بارندگی ماهانه بر حسب میلی-

متر در ماه x و P معرف متوسط بارش سالانه به میلی‌متر می‌باشد. طی تحقیقات متعددی روابط معناداری بین شاخص فورنیه و مقدار سالانه فرسایندگی باران گزارش شده است (برتونی و لمباردی‌نتو، ۱۹۹۰: ۱۱۵؛ اودورو-آفری^۳: ۱۹۹۶؛ داسیلو^۴: ۲۰۰۴؛ ۲۵۹). در این‌گونه مطالعات بسته به شرایط حاکم بر منطقه مطالعاتی ممکن است استفاده از آمار ۲۰ ساله و یا حتی آمار ۱۰ ساله نیز مطلوب و ایده‌آل باشد (داسیلو، ۲۰۰۴: ۲۵۶). مروری بر مطالعات صورت گرفته در ارتباط با فرسایندگی باران نشان می‌دهد که برای مطالعه فرسایندگی باران شاخص EI_{30} از بیشترین مقبولیت جهانی برای این منظور برخوردار است. این در حالی است که با توجه به محدودیت‌های حاکم بر این روش، شاخص‌های سهل‌الوصول به صورت بسیار گسترده‌ای بهویژه در مناطقی که با کمبود داده‌ها روپرتو هستند؛ مورداستفاده قرار گرفته‌اند (رضائی و همکاران، ۱۳۹۳: ۱۰۰). در این میان می‌توان به منائرتس و گابریلز^۵ (۲۰۰۰) اشاره نمود که با استفاده از داده‌های ۷ ساله ایستگاه‌های باران‌سنگی، فرسایندگی باران را برای جزیره‌ی کیپورده^۶ در آفریقا به دست آوردن. واندرنیف^۷ و همکاران (۲۰۰۰) طی تحقیقی بیان داشتند که مقادیر متوسط فرسایندگی بلندمدت اغلب با مقادیر در دسترس تر بارندگی مانند بارش سالانه یا شاخص اصلاح‌شده فورنیه همیستگی بالایی دارند. بر این اساس ایشان اقدام به تهیه نقشه فرسایندگی ماهانه، فصلی و سالانه برای کل اروپا نمودند. هو^۸ و همکاران (۲۰۰۰) نقشه فرسایندگی برای کشور کره جنوبی را به دست آورden. آن‌ها دریافتند که حداقل مقادیر فرسایندگی در قسمت‌های شرقی و حداقل آن در قسمت‌های ساحلی منطقه موردمطالعه به دست آمد. پوش و رکولاین^۹ (۲۰۰۳) طی مطالعه فرسایندگی باران کشور فنلاند دریافتند که تغییرات زمانی فرسایندگی بسیار بیشتر از تغییرات مکانی فرسایندگی منطقه موردمطالعه می‌باشد. در ترکیه نیز بررسی زمانی و مکانی فرسایندگی باران که توسط اسلان^{۱۰} و همکاران (۲۰۰۵) صورت گرفت، بیان‌گر تغییرات فرسایندگی بین نواحی مرکزی و شمال شرقی ترکیه می‌باشد.

پس از محاسبه میزان فرسایندگی باران برای یک منطقه می‌توان نقشه‌های فرسایندگی را با استفاده از روش‌های میان-یابی و با به کارگیری سامانه اطلاعات جغرافیایی (GIS) به دست آورد. در این زمینه ویشمایر و اسمیت در سال ۱۹۷۸ اقدام به تهیه نقشه‌های هم‌فرساینده برای ایالات متحده آمریکا نمودند. بین^{۱۱} و همکاران (۲۰۰۷) تغییرات مکانی فرسایندگی غرب چین را موربدرسی قرار داده و تغییرات فضایی فرسایندگی را به صورت نقشه‌های هم‌فرساینده ارائه نمودند. صادقی و همکاران (۲۰۱۱) نیز با استفاده از داده‌های ۲۳ ساله مربوط به ۱۸ ایستگاه، فرسایندگی باران کل کشور ایران را محاسبه نمودند و دریافتند حداقل شدت فرسایندگی مربوط به قسمت‌های شمالی و حداقل آن مربوط به قسمت-های مرکزی و جنوبی کشور ایران است. از دیگر مطالعات می‌توان به هو و همکاران (۲۰۰۰) برای کشور کره، داسیلو

^۱ Bertoni and Lombardi Neto

^۲ Renard and Freimund

^۳ Oduro-Afriyie

^۴ DaSilva

^۵ Mannaerts and Gabriels

^۶ Cape Verde

^۷ Vanderknif

^۸ Hu

^۹ Posch and Rekolainen

^{۱۰} Aslan

^{۱۱} Yin

(۲۰۰۴) برای کشور بزریل، بهزادفر^۱ و همکاران (۲۰۰۹) در ایران، و هئو و لی (۲۰۱۱) برای کشور کره جنوبی نیز اشاره نمود که از فناوری GIS برای دستیابی به نقشه‌های هم‌فرساینده کشور استفاده نمودند. مرور منابع داخلی نیز نشان می‌دهد که عامل فرساینده‌گی و توزیع زمانی و مکانی آن مورد توجه بسیاری محققان قرار گرفته است. در این زمینه می‌توان به تحقیق احمدی و همکاران (۱۳۹۳) در استان قزوین اشاره نمود. ایشان اقدام به تهیه پهنه‌های فرساینده‌گی استان نمودند و دریافتند که حداقل شدت فرساینده‌گی مربوط به قسمت‌های شمالی استان و به صورت لکه‌های نامتجنس در قسمت‌های جنوبی است. ایشان نهایتاً الگوی توزیع بارندگی و توپوگرافی را از دلایل نتایج اخیر برشمردند. رضائی و همکاران (۱۳۹۳) از شاخص فورنیه اصلاح شده برای برآورد مقدار فرساینده‌گی باران مدل RUSLE در حوزه گابریک استان هرمزگان استفاده کردند. ایشان در این تحقیق از روش کریجینگ معمولی برای برآورد مقدار فرساینده‌گی در مناطق فاقد ایستگاه باران‌سنگی استفاده کردند. نتایج نشان داد که مقدار R برآورد شده در حوزه موردمطالعه دارای تغییرات زیادی است و این مقدار به سمت جنوب و مرکز حوزه دارای روند کاهشی است. از دیگر مطالعات داخلی می‌توان به حکیم‌خانی و همکاران (۱۳۸۶)، بهزادفر و همکاران (۱۳۸۸)، علیپور و همکاران (۱۳۸۹)، عرفانیان و همکاران (۱۳۹۲)، تراپیان‌مقدم و همکاران (۱۳۹۳) و اسلامی و همکاران (۱۳۹۳) اشاره نمود.

از آنجائی که فرسایش خاک در کشورهای درحال توسعه روند افزایشی دارد (رضائی و همکاران، ۱۳۹۳؛ دستیابی به این‌گونه نقشه‌ها می‌تواند اطلاعات مؤثری در مورد فرسایش خاک یک منطقه ارائه نماید. از این‌رو مطالعه و اندازه‌گیری الگوی توزیع فرساینده‌گی باران و تأثیر احتمالی آن بر تغییرات فرسایش خاک بسیار مهم بوده و از اطلاعات قابل استخراج از نقشه‌های فرساینده‌گی می‌توان برای اقدامات حفاظت خاک و کشاورزی، بهمنظور آگاهسازی از پتانسیل فرساینده‌گی باران و همچنین برای تجویز اقدامات محتاطانه در راستای به حداقل رساندن اثرات و پیامدهای ناشی از فرسایش خاک در مناطق مختلف استفاده نمود (داسیلو، ۲۰۰۴: ۲۵۴). از این‌رو بر اساس مقوله فوق‌الذکر هدف از مطالعه حاضر تهیه نقشه‌های هم‌فرساینده استان هرمزگان و مطالعه برخی خصوصیات زمانی و مکانی آن در این منطقه می‌باشد. با توجه به کاربرد وسیع مدل فورنیه اصلاح شده (شمشداد^۲ و همکاران، ۲۰۰۸، داسیلو و همکاران، ۲۰۰۴، اونچف^۳، ۱۹۸۴، فرو^۴، ۱۹۹۹؛ هئو و لی، ۲۰۱۱؛ حکیم‌خانی و همکاران، ۱۳۸۶؛ حکیم‌خانی و حکیم‌خانی، ۱۳۸۹؛ احمدی و همکاران (۱۳۹۳) به خصوص برای مناطق دارای محدودیت برای دسترسی به آمار باران‌نگار از یکسو، و دقت و کارآیی قابل قبول این مدل برآورد مقدار فرساینده‌گی باران در این‌گونه مناطق از سویی دیگر (هئو و لی، ۲۰۱۱)؛ مدل فورنیه اصلاح شده جهت برآورد مقدار فرساینده‌گی باران استان هرمزگان انتخاب شده است.

مواد و روش‌ها منطقه موردمطالعه

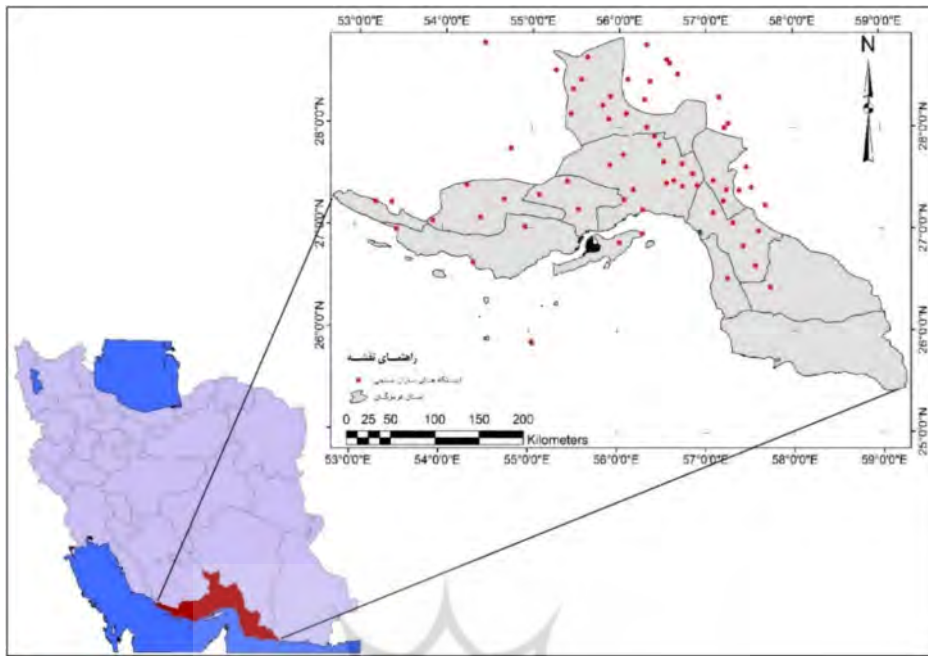
محدوده‌ی موردمطالعه در تحقیق حاضر، استان هرمزگان می‌باشد که به لحاظ موقعیت جغرافیایی^۵ ۲۵° تا' ۱۸° ۲۷° عرض شمالی و ۳۹° ۳۹° تا' ۱۴° ۵۲° طول شرقی در سواحل شمالی خلیج‌فارس و دریای عمان قرار دارد. در این تحقیق داده‌های ماهیانه و سالانه مربوط به ۶۷ ایستگاه باران‌سنگی در اطراف و درون محدوده استان هرمزگان در دوره مشترک آماری ۲۱ ساله (۱۳۶۷-۱۳۸۸ تا ۱۳۸۸-۱۳۸۷) بررسی شده است. شکل (۱) موقعیت مکانی استان هرمزگان را به همراه موقعیت ایستگاه‌های موردمطالعه را نشان می‌دهد.

¹ Behzadfar

² Shamshad

³ Onchev

⁴ Ferro



شکل ۱: موقعیت جغرافیایی منطقه و ایستگاه‌های مورد مطالعه

روش کار

محاسبه شاخص EI_{30} مستلزم وجود آمار شدت بارندگی است. این آمار تنها در ایستگاه‌های مجهز به باران‌نگار تهیه می‌شوند. متاسفانه چنین آماری در بیشتر ایستگاه‌های هواشناسی کشور و از جمله در استان هرمزگان تهیه و پرداخته نمی‌شوند (رضائی و همکاران، ۱۳۹۳: ۱۰۱). بنابراین برای فائق آمدن بر مشکل اخیر روش‌ها و شاخص‌های سهل‌الوصول پیشنهادشده‌اند. در این‌بین شاخص فورنیه اصلاح شده از کاربرد و دقت بالایی برخوردار می‌باشد که به همین دلیل توسط پژوهشگران متعددی مورد پژوهش و تحقیق قرار گرفت (احمدی و همکاران، ۱۳۹۳، رضائی و همکاران، ۱۳۹۳). فورنیه با استفاده از داده‌های ۷۸ حوزه آبخیز دو روش مختلف برای برآورد رسوب ارائه داده است. در معادلات ارائه شده توسط فورنیه رابطه‌ی مستقیمی بین میانگین سالانه تولید رسوب و نسبت $\frac{P^2}{P}$ یافت شد. این نسبت افليمی تحت عنوان شاخص فورنیه شناخته شده و به عنوان شاخص فرسایندگی باران مورد استفاده قرار می‌گیرد (فورنیه^۱، ۱۹۵۶). شاخص فورنیه از رابطه زیر محاسبه می‌شود:

$$F = \frac{P_i^2}{P} \quad (1)$$

که در آن، P_i ، حداقل بارندگی ماهانه (بارش مرطوب‌ترین ماه سال) و P ، متوسط بارندگی سالانه می‌باشد. در ادامه شاخص فورنیه به شکل رابطه ۲ اصلاح شده و تحت عنوان شاخص فورنیه اصلاح شده مورد استفاده گسترده‌ای در بین شاخص‌های سهل‌الوصول قرار گرفت.

$$MF = \frac{\sum_{i=1}^{12} P_i^2}{P} \quad (2)$$

که در آن؛ P_i ؛ بارندگی ماه i ام؛ P ، متوسط بارندگی سالانه در طول دوره آماری و MF ، شاخص فورنیه اصلاح شده می‌باشد. با استفاده از این روش برای هرسال یک شاخص حساب شده و سپس از آن‌ها میانگین گرفته می‌شود. به طوری که مجدد بارندگی هرماه در هرسال محاسبه شده و با تقسیم مجموع آن‌ها به بارندگی همان سال، مقدار شاخص فورنیه سال

¹ Fournier

یادشده به دست آمد. برای به دست آوردن شاخص متوسط ایستگاهها از مقادیر شاخص‌های یادشده در طول دوره آماری میانگین گرفته شد. در ادامه از رابطه‌هایی که رنارد و فریموند (۱۹۹۴) برای برآورد مقدار R با استفاده از مقادیر محاسبه شده شاخص فورنیه اصلاح شده پیشنهاد دادند، جهت برآورد قدرت فرسایندگی باران در ایستگاه‌های موردمطالعه استفاده شده است.

$$\text{MFI} < 55 \text{ mm} \quad \text{رابطه (۳)}$$

$$R = 0.7397 MFI^{1.847}$$

$$\text{MFI} \geq 55 \text{ mm} \quad \text{رابطه (۴)}$$

$$R = 95.77 - 6.081 MFI + 0.4770 MFI^2$$

میان‌یابی داده‌های نقطه‌ای با استفاده روش‌های زمین‌آمار

مقادیر شاخص فورنیه در این تحقیق برای هر ایستگاه به صورت مجزا و نقطه‌ای به دست آمده است. بنابراین برای تبدیل مقادیر برآورده شده شاخص فورنیه به سطوح نقشه از امکانات نرم‌افزارهای GS^+ و ArcGIS و با استفاده از روش‌های میان‌یابی استفاده شده است (جانستون^۱ و همکاران، ۲۰۰۱).

تعیین ساختار فضایی (واریوگرام)

برای بررسی ساختار مکانی بارش فصلی و سالانه، مقادیر تغییرنمای تجربی با استفاده از نرم افزار GS^+ ترسیم شد و سپس یک مدل مناسب مکانی با توجه به معیار مجموع مربعات کاهش‌یافته^۲ (RSS) بین داده‌ها از بین چهار ساختار فضایی کروی، نمایی، خطی و گوسی انتخاب شد. در این میان بهترین مدل انتخابی، مدلی است که دارای مجموع مربعات باقیمانده (RSS) کمتری باشد. به عبارت دیگر، جهت تعیین مقادیر نقطه‌ای قدرت فرسایندگی باران (عامل R ، ابتدا با استفاده از رابطه ۲ مقدار MFI برای هر یک از ایستگاه‌های موردنظری برآورد گردید. سپس برای تبدیل مقادیر MFI به R ، از رابطه‌های ۳ و ۴ استفاده شده است. بعد از تهیه این مقادیر نقطه‌ای، به منظور برآورد مقادیر این کمیت در نقاط فاقد آمار و باهدف تبدیل اطلاعات نقطه‌ای به نقشه‌های پهن‌بندی از روش‌های مبتنی بر زمین‌آمار استفاده شده است. برای استفاده از این روش‌ها بررسی نرمال بودن داده‌ها و وجود ساختار مکانی بین داده‌ها موردنظری قرار گرفت. ساختار مکانی داده‌ها با استفاده از تجزیه و تحلیل تغییرنما صورت می‌گیرد که شرط استفاده از این روش، نرمال بودن داده‌های متغیر موردنظر می‌باشد.

میان‌یابی^۳

با تعیین بهترین ساختار فضایی و پارامترهای مربوط به آن در مرحله قبل، با استفاده از روش‌های کریجینگ و عکس فاصله با توان‌های مختلف (یک تا سه) با استفاده از نرم‌افزارهای GS^+ و ArcGIS میان‌یابی بارش در مقیاس فصلی و سالانه انجام شد.

¹ Johnston

² Reduced Sums of Squares

³ Interpolation

روش و معیار ارزیابی

به منظور ارزیابی روش‌های مورد بررسی در این مطالعه از ریشه میانگین مربعات خطأ (RMSE) و ضریب تبیین (R^2) بین مقادیر مشاهده‌ای و برآورده است که نحوه محاسبه آن‌ها در رابطه‌های ۵ و ۶ آمده است.

$$RMSE = \sqrt{\frac{\sum_{i=1}^n (P_i - O_i)^2}{n}} \quad (5)$$

$$R^2 = \frac{\sum_{i=1}^n (P_i - \bar{O}_i)^2}{\sum_{i=1}^n (P_i - \bar{O})^2} \quad (6)$$

که؛ P_i : مقدار برآورد شده در نقطه‌ی i ، O_i : مقدار اندازه‌گیری شده در نقطه‌ی i ، \bar{O}_i : میانگین مقادیر مشاهده‌ای برای نقطه‌ی i ، n : شماره نقاط و n : تعداد نقاط مشاهده شده می‌باشد.

نتایج

بررسی داده‌های بارش نشان می‌دهد که میانگین بارش سالانه منطقه مورد مطالعه طی دوره مشترک آماری (۲۱ سال)، ۲/۲۱۲ میلی‌متر می‌باشد. توزیع بارندگی در استان هرمزگان دارای تغییرات زیادی است. به‌طوری که در یک نگاه کلی، میزان بارش به تدریج از قسمت‌های شرقی استان شروع به افزایش نموده و در شهرستان‌های میناب و رودان به حداقل رسیده و سپس سیر نزولی در میزان بارش منطقه را به سمت قسمت‌های غربی استان را شاهد می‌باشیم. در بین ایستگاه‌های مورد مطالعه ایستگاه‌های واقع در قسمت شمال شرقی و شرقی استان که شامل شهرستان‌های رودان و میناب می‌باشند حداقل و ایستگاه‌های عمدتاً ساحلی و متمایل به قسمت‌های غربی استان حداقل میزان بارش را به خود اختصاص دادند. این قاعده مطلق نبوده و وجود ایستگاه‌های نامتناجنس در بین ایستگاه‌های بخش‌های مختلف منطقه که در نقشه‌های پهنه‌بندی به صورت لکه‌های چشم‌گاوی مشخص شده، مشهود می‌باشد. الگوی تغییرات مکانی بارندگی استان هرمزگان در شکل ۲ ارائه شده است. طی دوره مورد بررسی ایستگاه‌های دهشیخ و پاپرپشتکو با متوسط بارش سالانه ۲۴/۱۰۰ و ۷۹/۴۰۹ میلی‌متر به ترتیب حائز کمترین و بیشترین مقدار متوسط بارش سالانه منطقه می‌باشند.

در پژوهش حاضر قدرت فرسایندگی باران منطقه، پس از تهیه و تکمیل داده‌های بارندگی منطقه مورد مطالعه در مرحله قبل و با استفاده از شاخص فورنیه اصلاح شده به دست آمد. بررسی قدرت فرسایندگی باران استان هرمزگان نشان می‌دهد که الگوی توزیع فرسایندگی به صورت چشمگیری متأثر از میزان متوسط بارش منطقه می‌باشد. به‌طوری که مقادیر حدی فرسایندگی و متوسط بارش در این منطقه بر هم منطبق بوده و الگوی رفتاری تقریباً یکسانی را از خود نشان می‌دهند. جدول ۱ مختصات جغرافیایی ایستگاه‌ها، میزان متوسط بارندگی طی دوره آماری سال آبی ۱۳۶۷-۱۳۶۸ تا ۱۳۸۹ و میزان قدرت فرسایندگی باران برای هر یک از ایستگاه‌های مورد بررسی را نشان می‌دهد.

جدول ۱- خصوصیات ایستگاه‌های مورد بررسی

ایستگاه	جهانی	جهانی	عرض	ارتفاع	بارش	MFI	فرسایندگی (MJ mm (ha ⁻¹ h ⁻¹ year ⁻¹)
ابوموسی	۳۰۲۷۲۲/۶	۲۸۶۴۹۵۲/۰	۵	۱۲۲/۱۳	۵۵/۸۲	۵۵/۸۲	۷۱/۸۳
باغو	۴۶۸۲۵۶/۷	۳۱۵۵۷۷۳/۷	۱۵۰۰	۱۹۶/۹۴	۵۷/۶۹	۵۷/۶۹	۷۷/۰۲
بحگان	۵۴۵۸۲۷/۱	۳۰۵۴۵۷۹/۷	۴۸۰	۲۱۳/۷۱	۷۶/۲۰	۷۶/۲۰	۱۳۸/۸۵
برنطین	۵۱۹۷۹۳/۱	۳۰۱۷۸۳۳/۵	۱۴۰	۲۲۸/۱۲	۸۵/۳۶	۸۵/۳۶	۱۷۶/۴۲
بلبل آباد	۵۵۱۱۸۱/۸	۳۰۳۲۵۳۸/۹	۳۲۰	۱۸۹/۳۵	۷۳/۸۹	۷۳/۸۹	۱۳۰/۱۰
بندرحسینه	۲۳۶۹۷۸/۲	۲۹۵۱۲۲۳/۷	۸	۱۴۰/۴۰	۶۵/۹۴	۶۵/۹۴	۱۰۲/۲۴
بندرعباس	۴۲۸۷۱۳/۷	۳۰۰۷۹۹۲/۱	۱۰	۱۶۲/۴۵	۵۹/۱۲	۵۹/۱۲	۸۱/۱۳
بندرمقام	۷۴۶۰۳۲/۰	۲۹۸۵۲۴۹/۹	۸	۱۶۴/۹۱	۶۳/۴۴	۶۳/۴۴	۹۴/۲۱
پاپرپشتکوه	۴۷۳۰۹۳/۱	۳۰۵۸۲۴۶/۴	۴۰۰	۴۰۹/۷۹	۱۲۴/۱۴	۱۲۴/۱۴	۳۸۶/۷۸
تحت	۴۶۳۷۷۷/۸	۳۰۴۰۰۲۴/۲	۴۰	۲۱۰/۶۸	۷۰/۹۸	۷۰/۹۸	۱۱۹/۵۱
تدرویه	۲۷۲۳۴۴/۱	۳۰۱۹۹۱۲/۹	۳۸۰	۲۰۰/۵۹	۶۴/۹۵	۶۴/۹۵	۹۹/۰۲
تنگ دلان	۳۱۲۱۱۴/۹	۳۰۲۴۹۳۹/۹	۲۴۰	۱۸۱/۱۶	۲۲/۱۲۳	۲۲/۱۲۳	۴۴/۳۷۹
تنگ قوچان	۳۶۶۵۶۵/۴	۳۱۷۴۳۴۳/۱	۱۶۳۰	۱۵۱/۵۰	۴۴/۹۳	۴۴/۹۳	۴۵/۴۰
توتنگ هماگ	۴۴۱۸۹۰/۹	۳۰۸۸۳۲۶/۸	۱۳۸۰	۳۸۰/۱۹	۱۱۲/۱۵	۱۱۲/۱۵	۳۱۲/۸۸
توریان قشم	۴۰۲۳۲۰/۷	۲۹۷۲۰۴۶/۳	۲۰	۱۴۷/۳۰	۵۹/۸۷	۵۹/۸۷	۸۳/۳۲
جاسک	۲۸۳۸۴۸۶/۰	۵۷۹۶۷۸/۰	۵	۳۲۲/۱۱۶	۹۰/۳۷	۹۰/۳۷	۸۳/۳۱
چگدان	۵۷۳۱۲۰/۲	۲۹۲۳۸۸۲/۵	۹۱۰	۲۸۶/۱۲	۶۰/۴۹	۶۰/۴۹	۸۵/۱۷
چاه خرگ	۴۸۹۹۵۲/۲	۳۰۳۴۶۵۱/۹	۴۹	۲۱۷/۴۴	۷۶/۲۸	۷۶/۲۸	۱۳۹/۱۵
چاه عالی	۴۷۳۷۷۲۵/۵	۳۰۳۳۷۲۲/۰	۳۰	۱۵۰/۳۳	۵۴/۷۷	۵۴/۷۷	۶۹/۰۰
حاجی آباد	۳۹۲۵۰۲/۲	۳۱۳۱۵۳۸/۸	۱۰۴۰	۲۱۲/۷۸	۶۴/۳۴	۶۴/۳۴	۹۷/۰۶
خبر(فخرآباد)	۴۳۳۳۲۵/۴	۳۱۸۷۸۶۵/۸	۲۰۰۰	۳۴۹/۱۷	۹۱/۷۰	۹۱/۷۰	۲۰۵/۱۳
خارجی	۵۲۳۱۷۸/۸	۳۰۳۰۱۴۶/۶	۱۹۰	۲۲۱/۱۴	۷۷/۰۴	۷۷/۰۴	۱۴۲/۰۹
خشت	۷۳۹۴۲۰/۶	۳۰۱۴۸۰۷/۶	۴۰۰	۲۲۰/۴۳	۷۹/۹۶	۷۹/۹۶	۱۵۳/۷۱
دراشکفت	۳۸۳۸۸۰/۶	۳۱۲۱۷۷۱/۰	۲۱۰	۲۰۴/۹۲	۱۱۲/۹۱	۱۱۲/۹۱	۳۱۷/۳۶
درپین	۵۵۶۲۳۱/۱	۲۹۴۷۴۵۶/۴	۴۷۰	۲۱۱/۱۲	۶۲/۳۶	۶۲/۳۶	۹۰/۸۵
دره شور	۵۲۵۳۳۵/۴	۳۱۰۱۹۶۷/۹	۶۴۰	۱۵۴/۵۲	۵۰/۰۳	۵۰/۰۳	۵۶/۹۵
د شیخ	۴۳۰۸۰۶/۳	۳۱۲۸۲۶۸/۰	۹۳۰	۱۰۰/۲۴	۰۰/۴۰	۱۰۰/۲۴	۵۹/۳۵
دهستان بالا	۳۵۹۷۰۷/۵	۳۱۵۰۱۹۷/۳	۱۳۸۰	۲۱۳/۵۴	۵۵/۳۸	۵۵/۳۸	۷۰/۶۲
دهسرد	۴۵۵۹۲۲/۸	۳۱۷۱۵۳۹/۴	۱۷۸۰	۲۲۲/۸۶	۷۰/۲۰	۷۰/۲۰	۱۱۶/۷۴
رویدر	۳۴۳۵۰۵۱/۴	۳۰۳۹۱۲۱/۸	۳۶۰	۲۱۱/۵۲	۶۹/۵۲	۶۹/۵۲	۱۱۴/۳۵
زهمکان	۵۱۴۹۲۴/۹	۳۱۳۰۷۲۲/۰	۱۳۰۰	۱۸۲/۷۰	۵۳/۰۳	۱۸۲/۷۰	۶۴/۴۳

۴۱۴/۲۱	۱۲۸/۲۹	۲۰۴/۹۹	۴۰	۳۰۰۴۸۹۸/۱	۵۰۸۲۵۵/۷	سد استقلال
۷۴/۴۲	۵۶/۷۶	۱۹۳/۹۵	۶۸۰	۳۱۰۶۹۳۷/۰	۳۹۰۲۸۷/۲	سرچاهان
۲۲۲/۰۸	۹۵/۲۲	۲۵۷/۶۸	۴۰۰	۳۰۶۰۳۷۱/۶	۴۵۲۳۳۱/۷	سرخا
۱۰۲/۳۸	۶۵/۹۸	۱۹۲/۹۰	۵۶۰	۳۰۱۳۴۱۵/۶	۵۶۷۲۱۲/۳	سرگرو
۱۲۹/۷۰	۷۳/۷۸	۲۱۲/۴۸	۲۳۵	۲۹۹۴۰۷۲/۲	۵۳۰۶۲۷/۹	سرنی
۱۲۶/۷۲	۷۲/۹۸	۲۰۶/۴۲	۲۱۰	۲۹۶۸۸۴۵/۶	۵۴۲۰۳۲/۸	سندرک
۲۱۵/۹۸	۹۳/۹۷	۳۱۹/۰۸	۹۰۰	۳۰۷۸۸۵۴/۲	۴۴۷۴۸۰/۴	سیخوران
۵۲/۹۱	۴۸/۳۱	۱۴۴/۰۵	۱۰۴۰	۳۱۴۷۸۹۷/۰	۴۳۷۲۵۸/۲	شاهماران
۱۳۵/۳۸	۷۵/۲۹	۲۲۰/۱۵	۸۴۰	۳۱۱۳۱۰۸/۵	۴۱۰۴۷۷/۱	شمیل جائین
۲۱۱/۴۳	۹۳/۰۲	۳۵۸/۱۳	۱۷۶۰	۳۱۱۲۶۴۸/۳	۴۱۰۲۸۲/۷	شيخ عالي
۷۴/۱۸	۵۶/۶۸	۱۸۸/۸۹	۷۰۰	۳۱۱۲۹۴۳/۶	۳۴۷۷۷۷/۷	طاشکوییه
۱۴۵/۳۰	۷۷/۸۶	۳۱۳/۷۸	۲۵۰۰	۳۱۶۲۰۱۷/۰	۴۸۵۹۸۴/۷	عمرودیه سیوین
۲۴۱/۵۸	۹۹/۱۲	۲۶۰/۶۸	۳۰۰	۳۰۳۹۹۷۳/۵	۵۰۸۲۳۲/۳	فاریاب
۱۵۵/۵۰	۸۰/۴۰	۱۶۹/۰۷	۵۰۰	۳۰۳۵۷۶۴/۸	۲۳۰۰۶۶/۰	فاریاب سنگوئیه
۹۶/۲۱	۶۴/۰۷	۱۸۴/۶۷	۶۰۰	۳۰۶۸۲۶۶/۸	۴۰۶۸۲۹/۶	فاریاب گهره
۱۰۳/۸۵	۶۶/۴۳	۱۹۷/۷۳	۳۳۰	۳۰۵۷۰۶۹/۱	۳۹۱۴۷۷/۵	فین
۹۳/۳۱	۶۳/۱۵	۱۶۰/۵۶	۸	۲۹۸۲۱۷۸/۲	۴۲۸۴۵۵/۸	قسم
۷۲/۶۵	۵۶/۱۲	۱۴۶/۸۳	۷۰	۳۰۱۹۰۸۵/۰	۴۰۷۷۱۹/۳	قلات پایین
۹۵/۵۱	۶۳/۸۵	۱۸۲/۰۷	۶۰	۳۰۳۷۱۵۹/۵	۴۵۵۳۹۷/۶	قلعه قاضی
۸۶/۴۹	۶۰/۹۳	۲۲۶/۷۸	۱۶۴۰	۳۱۶۷۶۸۰/۴	۴۵۹۲۴۷/۸	قنات قاضی
۱۷۴/۷۲	۸۴/۹۷	۲۶۱/۰۹	۳۴۰	۲۹۹۶۲۷۶/۶	۷۸۶۵۴۳/۲	کمشک
۱۱۳/۱۱	۶۹/۱۶	۱۶۳/۶۶	۱۴۰	۲۹۹۰۱۰۵/۵	۲۹۵۵۶۸/۲	کوردان
۲۲۸/۳۸	۹۶/۵۰	۳۰۲/۸۲	۱۶۰۰	۳۰۳۰۱۲۱/۴	۴۱۷۹۳۷/۱	کوه گنو
۷۲/۳۵	۵۶/۰۱	۲۰۷/۳۲	۶۳۵	۳۰۷۵۳۲۳/۹	۲۷۹۹۷۳/۳	کهنه علی آباد
۸۳/۷۴	۶۰/۰۱	۱۶۵/۹۷	۴۰	۳۰۰۸۹۸۹/۳	۳۵۶۲۱۴/۳	کهورستان
۱۰۷/۷۰	۶۷/۵۸	۲۱۰/۴۶	۵۷	۳۰۱۴۲۵۲/۶	۷۲۱۱۵۴/۲	گاویندی-
						میلکی
۶۳/۰۷	۵۲/۵۰	۱۶۸/۲۳	۵۶۰	۳۰۹۷۴۹۷/۶	۵۲۰۹۷۵/۰	گلاشکرد
۹۰/۶۵	۶۲/۳۰	۲۲۶/۷۸	۱۲۹۰	۳۱۹۰۳۴۴/۵	۲۵۱۱۴۸/۹	گوزون
۹۹/۳۸	۶۵/۰۶	۲۲۴/۷۱	۱۵۴۰	۳۱۳۹۷۵۲/۰	۳۵۰۴۸۹/۸	گیس
۱۰۵/۸۶	۶۷/۰۳	۲۲۸/۶۶	۶۶۰	۲۹۸۵۰۳۹/۴	۵۵۹۷۵۷/۶	مشکالدین
۱۵۲/۲۸	۷۹/۶۱	۲۲۶/۷۹	۸۰۰	۳۰۲۹۲۵۹/۳	۵۳۷۶۵۴/۷	معدن آسمینون
۱۱۱/۱۲	۶۸/۵۸	۱۸۹/۳۴	۴۵	۲۹۳۳۳۵۸/۲	۵۲۴۷۶۹/۸	مهمنانی
۸۵/۴۴	۶۰/۵۸	۲۰۱/۷۷	۱۱۶۰	۳۰۹۸۰۳۴/۶	۴۳۳۱۹۸/۰	میمند

۷۱/۴۸	۵۵/۶۹	۲۰۳/۳۲	۱۸۰۰	۳۱۶۰۳۰۰/۰	۳۳۱۲۳۵/۲	نارکوه
۱۵۱/۱۲	۷۹/۳۲	۲۷۲/۷۷	۵۱	۳۰۴۷۳۶۴/۲	۴۸۵۱۹۰/۸	نیان
۵۱/۹۸	۴۷/۹۱	۱۷۶/۹۳	۱۰۸۰	۳۱۵۰۲۷۳/۲	۴۱۲۱۹۸/۸	وکیل آباد
۱۱۹/۷۵	۷۱/۰۵	۲۲۱/۸۶	۳۰۰	۳۰۰۰۱۰۸/۹	۲۴۵۵۲۳/۲	هرنگ

نتایج بررسی نرمال بودن داده‌های مورداستفاده در این تحقیق با توجه به مقدار P و آماره آزمون کلموگراف-اسمیرنوف، نشان داد که داده‌های مورداستفاده‌ی تحقیق دارای توزیع نرمال نمی‌باشند. ازین‌رو از طریق تبدیل متعارف لگاریتم‌گیری، مجموعه داده‌های تحقیق به توزیع نرمال نزدیک شد. نتایج آزمون کلموگراف-اسمیرنوف و تجزیه‌وتحلیل تغییرنما در جدول‌های ۲ و ۳ ارائه گردید.

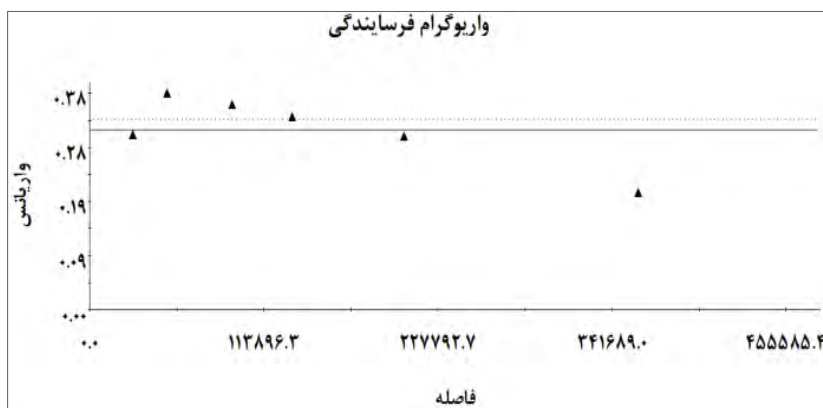
جدول ۲: بررسی نرمال بودن مقادیر عامل فرسایندگی باران، قبل و بعد از تبدیل لگاریتمی

قدرت فرسایندگی	قبل از تبدیل	بعد از تبدیل	حداقل	حداکثر	میانگین	معیار	مقدار- P	انحراف-	مقدار آماره آزمون (Z)
۰.۸۱/۰	۲۰۱/۰	۲۳/۰	۰.۴/۲	۶۲/۲	۵/۱		۱۸۵/۰	۰.../۰	۴۳/۸۱
باران	بعد از تبدیل	قبل از تبدیل							

جدول ۳: نتایج تجزیه‌وتحلیل تغییرنما

ردیف	متغیر	مدل	حد آستانه اثربخشی (Co+C)	حد قطعه‌ای (Co)	$\frac{C}{Co + C}$	شعاع تاثیر (km)	RSS
۱	کروی	۰/۲۹۵	۰/۵۹	۰/۵	۱۰	۰/۰۲۴۱	
۲	نمایی	۰/۲۹۹	۰/۶۰	۰/۵	۳۰	۰/۰۲۲۱	
۳	خطی	۰/۳۰۷	۰/۰۰	۷۹/۵	۷۹/۵	۰/۰۱۸۷	
۴	گوسی	۰/۳۰۶	۰/۶۱	۰/۵	۸۳	۰/۰۱۸۹	

بنابراین با توجه به مقادیر مربوط به RSS، مدل واریوگرام خطی که به صورت مطلوب‌تری همبستگی مکانی بین داده‌ها را نشان می‌دهد، برای برآش بر داده‌های تحقیق، انتخاب شد. شکل ۲ واریوگرام خطی برآش یافته بر داده‌های موردبررسی را نشان می‌دهد.



شکل ۲: واریوگرام برآش‌یافته بر متغیر قدرت فرسایندگی باران

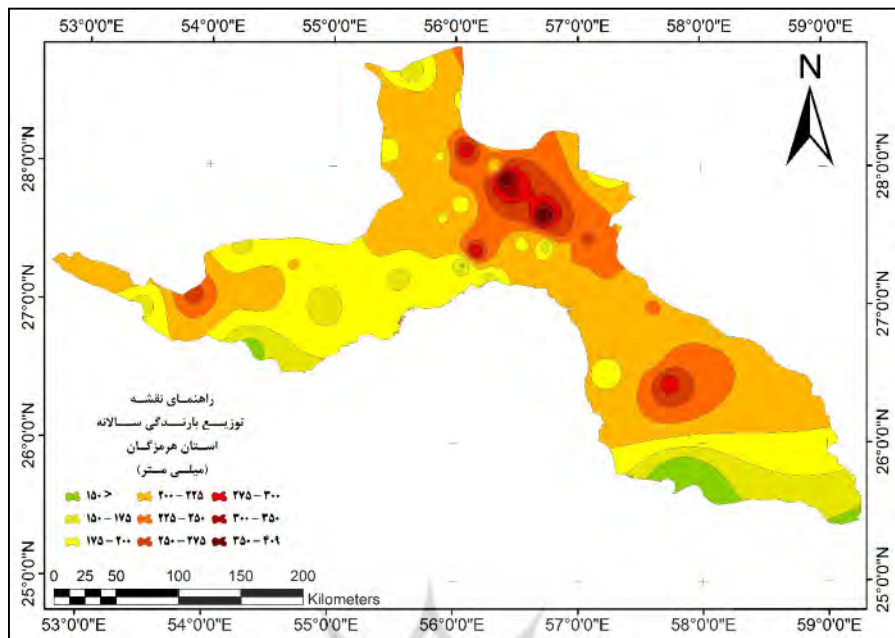
نتایج ارزیابی دقت روش‌های تخمین‌گر زمین‌آماری با استفاده از مقادیر محاسباتی کمیت فرسایندگی و مقادیر پیش‌بینی شده توسط روش‌های میان‌یابی در جدول ۴ نشان داده شده است.

جدول ۴: نتایج ارزیابی مدل تخمین میزان فرسایندگی باران

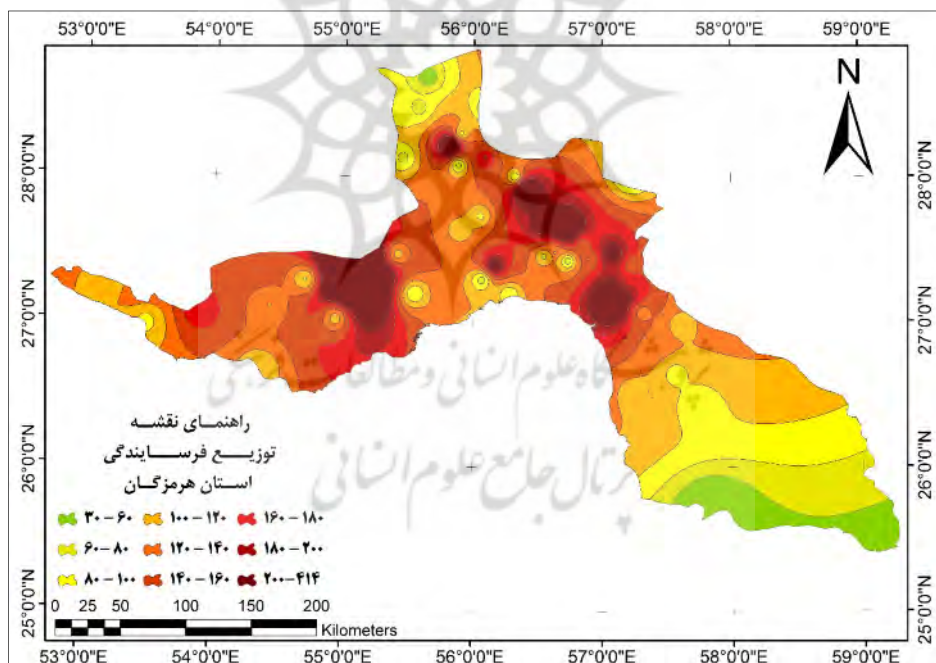
ردیف	مدل تخمین	ضریب تبیین (R^2)	RMSE
۱	کوکریجینگ	۵۳۰	۱/۳۹
۲	کریجینگ معمولی	۵۸۰	۰/۱۴۵
۳	IDW	۵۲۰	۶/۴۸
۴	IDW ²	۶۴۰	۴۱/۷
۵	IDW ³	۷۰	۵۲/۳۸

همان‌طور که در جدول ۴ مشخص است روش میان‌یابی IDW با توان ۳، با داشتن حداقل ریشه میانگین مربعات خطای (RMSE) و حداکثر ضریب تبیین (R^2)، روش میان‌یابی ارجح برای پهنه‌بندی کمیت قدرت فرسایندگی باران در استان هرمزگان می‌باشد.

پس از ارزیابی روش‌های میان‌یابی و انتخاب روش برتر میان‌یابی، مقادیر قدرت فرسایندگی باران برای مختصات جغرافیایی فاقد آمار، برآورد شده است. نتیجه این عمل به صورت نقشه‌ی فرسایندگی باران، در شکل ۳ ارائه شده است. الگوی قدرت فرسایندگی باران، بیانگر تغییرات تدریجی و افزایشی آن از قسمت‌های جنوب‌شرقی استان به سمت مرکز و شمال‌غرب استان است. البته این روند در دیگر جهات نیز قابل تشخیص می‌باشد، اما از نظم و گستردگی مورد اخیر برخوردار نیست. به‌طوری‌که روند تغییرات جنوب‌شرقی-شمال‌غربی مشهودترین روند تغییر در میزان قدرت فرسایندگی منطقه مورد مطالعه می‌باشد. همان‌طور که از نقشه فرسایندگی استان برمی‌آید، در محدوده‌های شرقی‌تر استان قدرت فرسایندگی باران دارای آشفتگی کمتری نسبت به سایر مناطق و مخصوصاً مناطق مرکزی و شمالی استان است. شکل ۲ الگوی تغییرات مکانی بارندگی سالانه و شکل ۳ الگوی توزیع مکانی قدرت فرسایندگی بارش استان هرمزگان را نشان می‌دهد.



شکل ۲: الگوی تغییرات مکانی بارندگی سالانه استان هرمزگان



شکل ۳: الگوی توزیع عامل فرسایندگی سالانه استان هرمزگان (MJ mm ha-1h-1yr-1).

مطابق الگوی بدست آمده، میزان فرسایندگی باران منطقه موردمطالعه در طبقات باقدرت فرسایندگی متفاوت (داسیلو، ۲۰۰۴؛ ۲۵۵ گروه‌بندی شده است. جدول ۵ مساحت تحت پوشش هر یک از طبقات قدرت فرسایندگی باران را نشان می‌دهد. همان‌طور که در جدول ۵ مشخص است، نزدیک ۴۰ درصد از مساحت استان متأثر از فرسایندگی باران در محدوده قدرت ۱۰۰-۱۴۰ مگاژول در میلی‌متر بر هکتار در ساعت در سال ($MJ\ mm\ ha^{-1}h^{-1}yr^{-1}$) و کمترین مساحت (۴ درصد) آن نیز از فرسایندگی باران در محدوده قدرت $200-180\ MJ\ mm\ ha^{-1}h^{-1}yr^{-1}$ متأثر می‌باشد. در ضمن تنها ۷۶ درصد از مساحت استان هرمزگان متأثر از بارش‌هایی باقدرت فرسایندگی بیش از $200\ MJ\ mm\ ha^{-1}h^{-1}yr^{-1}$ می‌باشد.

جدول ۵: مساحت تحت پوشش شدتهای مختلف فرسایندگی باران استان هرمزگان

طبقه فرسایندگی (MJ mm ha ⁻¹ h ⁻¹ yr ⁻¹)	مساحت (Km ²)	درصد مساحت نسبی	درصد مساحت تجمعی
۶۰-۳۰	۳۸۷۳.۸۲	۵.۵۵	۵.۵۵
۸۰-۶۰	۵۰۰۱.۷۰	۷.۱۷	۱۲.۷۲
۱۰۰-۸۰	۸۶۶۷.۰۸	۱۲.۴۲	۲۵.۱۵
۱۲۰-۱۰۰	۱۳۴۰۰.۵۰	۱۹.۲۱	۴۴.۳۶
۱۴۰-۱۲۰	۱۳۲۶۹.۰۶	۱۹.۰۳	۵۰.۶۵
۱۶۰-۱۴۰	۱۱۷۱۴.۰۶	۱۶.۷۹	۸۰.۱۷
۱۸۰-۱۶۰	۵۶۷۷.۰۸	۸.۱۴	۸۸.۳۱
۱۸۰-۲۰۰	۲۸۱۰۰.۳	۴.۰۳	۹۲.۳۴
۲۰۰-۴۱۴	۵۳۴۶.۸۰	۷.۶۶	۱۰۰.۰۰

در ادامه از روابط همبستگی برای روشن کردن ارتباط و میزان همبستگی مقادیر فرسایندگی باران با تغییرات ارتفاعی استان و همچنین با تغییرات بارش و طول و عرض جغرافیایی منطقه مورد مطالعه استفاده شده است. نتایج اخیر که در جدول ۶ ارائه شده است نشان می‌دهد که مقادیر فرسایندگی باران بیشترین میزان همبستگی را با میزان بارندگی از خود نشان داده و همبستگی معنی‌داری با دیگر متغیرهای مورد بررسی ندارد.

جدول ۶: ماتریس همبستگی بین متغیرهای مورد بررسی

متغیر	فرسایندگی باران (MJ mm ha ⁻¹ h ⁻¹ yr ⁻¹)	عرض جغرافیایی	طول جغرافیایی	ارتفاع بارش
۱ طول جغرافیایی	-۱۰۷/۰	۱۷۰/	۱۲۳/	۹۲۳/۰***
۲ عرض جغرافیایی	۰.۸۲/۰	/۲۹۷*	۲۳۵/	۱
۳ بارش	۳۸۲/۰**	۱۱/۰	۱	-
۴ ارتفاع	-۰.۸۱/۰	۱	-	-
۵ فرسایندگی باران (MJ mm ha ⁻¹ h ⁻¹ yer ⁻¹)	۱	-	-	-

* معنی‌داری در سطح ۱/۰ درصد

** معنی‌داری در سطح ۰.۵/۰ درصد

بحث و نتیجه‌گیری

هدف از انجام این تحقیق تعیین الگوی تغییرات مکانی فرسایندگی باران در استان هرمزگان با استفاده از شاخص فورنیه اصلاح شده می‌باشد. به صورتی که قدرت فرسایندگی باران در ۶۷ ایستگاه باران‌سنجی استان هرمزگان محاسبه گردید و برای تبدیل این اطلاعات نقطه‌ای به اطلاعات ناحیه‌ای از روش‌های میان‌یابی مبتنی بر زمین‌آمار استفاده شده است. با توجه به نتایج، مدل تغییرنمای خطی، به عنوان ساختار فضایی ارجح جهت برآش بر روی داده‌ها و روش IDW با توان ۳، روش میان‌یابی برتر برای پهنه‌بندی کمیت قدرت فرسایندگی باران در استان هرمزگان است. احمدی و همکاران (۱۳۹۳) نیز روش IDW را مناسب‌ترین روش برای میان‌یابی داده‌های نقطه‌ای فرسایندگی در محدوده استان قزوین معرفی کردند.

به علاوه در این پژوهش از روابط همبستگی بین مقادیر فرسایندگی باران و متغیرهای ارتفاع، متوسط بارندگی منطقه و مختصات جغرافیایی (طول و عرض جغرافیایی)، برای بررسی علل روند تغییرات قدرت فرسایندگی باران استفاده شده است. با توجه به اینکه میزان بارش سالانه منطقه بین ۲/۱۰۰ تا ۸/۴۰۹ میلی‌متر و قدرت فرسایندگی باران در استان هرمزگان از ۳۱ تا ۴۱۴ $MJ\ mm\ ha^{-1}h^{-1}yr^{-1}$ متغیر بوده است، تحلیل الگوی توزیع قدرت فرسایندگی و متوسط بارندگی سالانه نشان می‌دهد که علی‌رغم انطباق الگوهای توزیع مکانی این متغیرها، این انطباق مطلق نبوده و در برخی مناطق این متغیرها رفتار متفاوتی را از خود نشان دادند. به طوری که می‌توان دریافت که مناطق با میزان بارش حداقل‌تر از قدرت فرسایندگی بیشتری نیز برخوردار نمی‌باشند. در مناطق غربی استان که عمدتاً در طبقات با بارش حداقل قرار دارند، شاهد قرار گرفتن آن‌ها در رده‌های بالایی از قدرت فرسایندگی باران یعنی نزدیک به طبقه مناطق شمال-شرقی (روdan و میناب) استان که داری حداقل میزان بارش می‌باشند؛ بوده‌ایم. از دلایل این امر می‌توان به تعداد پائین رخدادهای بارندگی در این مناطق اشاره نمود. در این مناطق عمده بارش‌ها طی یک یا چند رخداد اتفاق افتاده و بارش‌های با پایه‌ی زمانی کوتاه (شدت بالا) درصد بالایی از حجم بارش سالانه را به خود اختصاص می‌دهند. درنتیجه و بر اساس فرمول مدل فورنیه اصلاح شده (رابطه ۲)، علی‌رغم مقدار کم بارندگی، این‌گونه مناطق از قدرت فرسایندگی بالایی برخوردار می‌باشند (شکل ۲ و ۳). بررسی روابط بین قدرت فرسایندگی (عامل R) با میزان بارندگی، تغییرات ارتفاعی، و تغییرات طول و عرض جغرافیایی نشان داد که قدرت فرسایندگی بارندگی در استان هرمزگان تنها با مقادیر بارندگی دارای ارتباط معنادار می‌باشد و با دیگر متغیرها ارتباط معناداری را از خود نشان نداد. این در حالی است که اسلامی و همکاران (۱۳۹۳) تغییرات قدرت فرسایندگی استان خوزستان را متناسب و در ارتباط با تغییرات ارتفاعی، طول و عرض جغرافیایی و تغییرات بارش عنوان داشتند. ترابیان و همکاران (۱۳۹۳) علی‌رغم گزارش ارتباط معنادار تغییرات قدرت فرسایندگی با میزان بارندگی‌های جنوب غربی کشور ایران، ارتباط معناداری بین تغییرات این متغیر با تغییرات ارتفاعی نیافرند. داسیلووا (۲۰۰۴) در کشور بزریل نیز همبستگی بالایی بین تغییرات فرسایندگی باران با تغییرات بارش متوسط سالانه و همبستگی معنادار بین فرسایندگی باران با طول جغرافیایی مناطق مورد بررسی را گزارش دادند. بنابراین نمی‌توان انتظار الگوی رفتاری یکسانی برای تغییرات قدرت فرسایندگی باران را در مناطق مختلف انتظار داشت چراکه طی تحقیقات در مناطق مختلف ارتباط این متغیر با سایر متغیرهای محیطی هم رد و هم تأیید شده است. در این‌بین نامنظمی‌های مشاهده شده می‌تواند ناشی از ناهمسو بودن تأثیر هم‌جواری منطقه موردمطالعه با دریا، وجود کوه‌ها و نهایتاً ورود جبهه‌های اقلیمی از سمت اقیانوس هند و دریای عمان به منطقه موردمطالعه باشد که هر کدام به طریقی بر الگوی توزیع بارندگی و نهایتاً توزیع میزان فرسایندگی باران تأثیر می‌گذارند.

بر اساس نتایج اخیر و سایر مطالعات صورت گرفته، معتبرترین شاخص ارائه شده برای بررسی قدرت فرسایندگی باران شاخص EI_{30} می‌باشد که نیازمند داده‌های باران‌نگار می‌باشد. در ایران تعداد محدودی از ایستگاه‌های هواشناسی مجهرز به باران‌نگار می‌باشند که در استان هرمزگان این امر به شدت چشمگیر است. لذا پیشنهاد می‌شود تجهیز ایستگاه‌های

هواشناسی به باران‌نگار در دستور کار مراجع ذیربیط قرار گیرد. نتایج و اطلاعات خروجی این تحقیق را می‌توان برآورد مقادیر فرسایش و رسوب و اولویت‌بندی مناطق استان هرمزگان جهت اجرای پروژه‌های کنترل فرسایش و رسوب مورداستفاده قرارداد.

منابع

- احمدی حسن، جوادی محمدرضا، و صلوانی عقیق، ۱۳۹۰، پهنه‌بندی قدرت فرسایندگی باران به روش فورنیه با استفاده از برخی روش‌های درون‌یابی (مطالعه موردی: استان قزوین). *فصلنامه علمی-پژوهشی اکوسیستم‌های طبیعی ایران*، سال پنجم، دوره ۲، صص. ۱۴-۱.
- اسلامی، حسین، سلاجهقه، علی، خلیقی سیگارودی، شهرام، احمدی، حسن، و ایوبی، شمس‌الله، ۱۳۹۳، بررسی تغییرات مکانی برخی شاخص‌های فرسایندگی باران با استفاده از زمین‌آمار در استان خوزستان. *مرتع و آبخیزداری*، دوره شصت و هفتم، شماره ۳، صص. ۳۹۳-۴۰۶.
- ترابیان مقدم، الهه، نادری، مهدی، محمدی، جهانگرد و فتاحی، روح‌الله، ۱۳۹۳، تغییرات زمانی و مکانی ضربی فرسایندگی در جنوب غرب ایران. *مجله پژوهش‌های حفاظت آب‌وچاک*، جلد بیست و یکم، شماره ۴، صص. ۱۳۹-۱۵۷.
- رضائی، پیمان، فریدی، پروانه، قربانی، منصور و کاظمی، محمد، ۱۳۹۳. برآورد فرسایش خاک با استفاده از مدل RUSLE و شناسایی مؤثرترین عامل آن در حوزه آبخیز گابریک-جنوب خاوری استان هرمزگان، پژوهش‌های ژئومورفولوژی کمی، سال سوم، شماره ۱، صص. ۹۷-۱۱۳.
- حکیم‌خانی شاهرخ، حکیم‌خانی، ایرج، ۱۳۸۹، تهیه نقشه فرسایندگی باران برای استان لرستان، *مجله پژوهش‌های آبخیزداری (پژوهش و سازندگی)*، شماره ۸۹، صص. ۶۳-۷۲.
- حکیم‌خانی، شاهرخ، مهدیان، محمدحسین و عرب‌خردی، محمود، ۱۳۸۶، تهیه نقشه فرسایندگی باران برای حوضه دریاچه نمک. *نشریه منابع طبیعی ایران*، دوره شصتم، شماره ۳، صص. ۷۱۳-۷۲۶.
- عرفانیان، مهدی، قهرمانی‌ ساعتلو، پریسا و سعادت، حسین، ۱۳۹۳، ارزیابی خطر فرسایش خاک با استفاده از یک مدل فازی در آبخیز قرنووه گلستان. *مجله پژوهش‌های حفاظت آب‌وچاک*، دوره بیست و یکم، شماره ۶، صص. ۱۳۵-۱۵۴.
- علی‌بور، زرین‌ناج، مهدیان محمدحسین، پذیراء، ابراهیم، رحیمی‌بندرآبادی، سیما و سعیدی، مصطفی، ۱۳۸۹، مقایسه کارایی روش‌های معمول زمین‌آماری با روش فازی کریجینگ در تهیه نقشه هم فرسایندگی باران در حوزه آبخیز دریاچه نمک. *پژوهش‌های آبخیزداری (پژوهش و سازندگی)*، دوره شصتم، شماره ۱، صص. ۳۲-۴۱.
- Asadi, H., Rouhipour, H., Rafahi, H. G., & Ghadiri, H. (2008). Testing a mechanistic soil erosion model for three selected soil types from Iran. *Journal of Agricultural Science and Technology*, 10, 79-91.
- Aslan, Z., Sogut, A., & Okcu, D. (2005). Spatial and temporal variations of water erosion, aridity and vegetation. In *Geophysical Research Abstracts* (Vol. 7, p. 11135).
- Bertoni, J., & Lombardi Neto, F. (1990). *Conservação do solo. ícone*. São Paulo. Brazil 355 pp.
- Behzadfar, M., Hasanzadeh, H. & Saberi M., (2009). Estimation of Fournier Rainfall Erosivity Factor in North Khorasan Province. *Fifth National Conference on Science and engineering Watershed Management*.
- Da Silva, A. M. (2004). Rainfall erosivity map for Brazil. *Catena*, 57(3), 251-259.
- Fournier, F. (1956). The effect of climatic factors on soil erosion estimates of solids transported in suspension in runoff. *Association Hydrologic Int. Public*, 38.
- Hu, Q. I., Gantzer, C. J., Jung, P. K., & Lee, B. L. (2000). Rainfall erosivity in the Republic of Korea. *Journal of soil and water conservation*, 55(2), 115-120.
- Hudson, N. (1971). *Soil conservationl Cornell Univ. Press*, Ithaca, New York.
- Johnston, K., Ver Hoef, J. M., Krivoruchko, K., & Lucas, N. (2001). Using ArcGIS geostatistical analyst (Vol. 380). *Redlands: Esri*.
- Lee, J. H., & Heo, J. H. (2011). Evaluation of estimation methods for rainfall erosivity based on annual precipitation in Korea. *Journal of Hydrology*, 409(1), 30-48.

- Ludwig, J. A., Eager, R. W., Liedloff, A. C., Bastin, G. N., & Chewings, V. H. (2006). *A new landscape leakiness index based on remotely sensed ground-cover data*. Ecological Indicators, 6(2), 327-336.
- Mannaerts, C. M., & Gabriels, D. (2000). *Rainfall erosivity in Cape Verde*. Soil and Tillage Research, 55(3), 207-212.
- Meusburger, K., Steel, A., Panagos, P., Montanarella, L., & Alewell, C. (2012). *Spatial and temporal variability of rainfall erosivity factor for Switzerland*. Hydrology and Earth System Sciences, 16(1), 167-177.
- Morgan, R. P. C. (2004). *Soil erosion and conservation*. ISBN: 978-1-4051-1781-4. December 2004, Wiley-Blackwell. 316 pp.
- Oduro-Afriyie, K. (1996). *Rainfall erosivity map for Ghana*. Geoderma, 74(1), 161-166.
- Onchev, N. G. (1985). *Universal index for calculating rainfall erosivity*.
- Petkovšek, G., & Mikoš, M. (2004). *Estimating the R factor from daily rainfall data in the sub-Mediterranean climate of southwest Slovenia/Estimation du facteur R à partir de données journalières de pluie dans le climat sub-méditerranéen du Sud-Ouest de la Slovénie*. Hydrological sciences journal, 49(5).
- Posch, M., & Rekolainen, S. (2003). *Erosivity factor in the Universal Soil Loss Equation estimated from Finnish rainfall data*. Agricultural science in Finland (Finland).
- Renard, K. G., & Freimund, J. R. (1994). *Using monthly precipitation data to estimate the R-factor in the revised USLE*. Journal of hydrology, 157(1), 287-306.
- Renard, K. G., Foster, G. R., Weesies, G. A., McCool, D. K., & Yoder, D. C. (1997). *Predicting soil erosion by water: a guide to conservation planning with the Revised Universal Soil Loss Equation (RUSLE)*. Agriculture handbook, 703.
- Sadeghi, S. H. R., & Hazbavi, Z. (2015). *Trend analysis of the rainfall erosivity index at different time scales in Iran*. Natural Hazards, 77(1), 383-404.
- Sadeghi, S. H. R., Moatamednia, M., & Behzadfar, M. (2011). *Spatial and temporal variations in the rainfall erosivity factor in Iran*. Journal of Agricultural Science and Technology, 13, 451-464.
- Shamshad, A., Azhari, M. N., Isa, M. H., Hussin, W. W., & Parida, B. P. (2008). *Development of an appropriate procedure for estimation of RUSLE EI 30 index and preparation of erosivity maps for Pulau Penang in Peninsular Malaysia*. Catena, 72(3), 423-432.
- Van der Knijff, J. M., Jones, R. J. A., & Montanarella, L. (2000). *Soil erosion risk assessment in Europe*.
- Ferro, V., Porto, P., & Yu, B. (1999). *A comparative study of rainfall erosivity estimation for southern Italy and southeastern Australia*. Hydrological sciences journal, 44(1), 3-24.
- Wischmeier, W. H. (1959). *A rainfall erosion index for a universal soil-loss equation*. Soil Science Society of America Journal, 23(3), 246-249.
- Wischmeier, W. H., & Smith, D. D. (1978). *Predicting rainfall erosion losses-A guide to conservation planning*. Predicting rainfall erosion losses-A guide to conservation planning.
- Yin, S., Xie, Y., Nearing, M. A., & Wang, C. (2007). *Estimation of rainfall erosivity using 5-to 60-minute fixed-interval rainfall data from China*. Catena, 70(3), 306-312.